خصائص نقل الالكترون خلال نقطتين كميتين مقترنتين: تأثير التفاعل غير المباشر

* جنان مجيد المخ، ** هيفاء عبد النبي جاسم، *** محمد عبد الزهرة نجدي *قسم الفيزياء، كلية التربية للعلوم الصرفة، جامعة البصرة، البصرة، العراق. **قسم الفيزياء، كلية العلوم، جامعة البصرة، البصرة، العراق. ***مديرية تربية البصرة، البصرة، العراق

> تاريخ الاستلام: 7 / 6 / 2017 تاريخ قبول النشر: 23 / 11 / 2017

Abstract

In this paper, we investigate the indirect interaction effect between each quantum dots and other lead, on the electron tunneling properties through created system a serially coupled double asymmetric quantum dots, embedded between two nonmagnetic leads (source and drain). In this treatment, the time independent Anderson-Newns Hamiltonian model is considered as a basis to study the system dynamics and then to derive spin-dependent analytical formula to calculate the tunneling current considering the strong coupling regime, the differential conductance is calculated numerically and discussed in detail. These results review for the current and conductance as a function of bias voltage, for different values of indirect interaction and many values of the exchange interaction between the double quantum dots. And we concluded that when additional values of the positive indirect interaction energy for bias voltage it led to increased distance bias voltage and less the differential conductance, but when additional values of negative indirect interaction energy for bias voltage and increases the differential conductance.

Keywords

Coupled Double Quantum Dots; Electron transport; indirect interaction.



الخلاصة

في هذا البحث قدمنا معالجة نظرية لفحص تأثير التفاعل غير المباشر بين كل نقطة كمية والقطب البعيد عنها على خصائص نقل الالكترون خلال نظام مكون من نقطتين كميتين غير متناظرتين مقترنتين بهيئة سلسلة، موضوعة بين قطبين معدنيين غير مغناطيسيين (واهب ومستقبل). في هذه المعالجة اعتمدنا هاملتونين أندرسون - نيونز كأساس لدراسة ديناميكية النظام ومن ثم اشتقاق صيغة تحليلية لحساب تيار النفق والتوصيلية التفاضلية عددياً ونوقشت تفصيلياً. حيث تم استعراض النتائج الخاصة بالتيار والتوصيلية كدالة لفولتية الانحياز ولقيم مختلفة من قيم التفاعل غير المباشر وأيضاً لعدة قيم لتفاعل تبادل البرم بين النقطتين الكميتين. واستنتجنا أنه عند اضافة قيم طاقة التفاعل غير المباشر الموجبة الى فولتية الانحياز فأن ذلك يؤدي الى زيادة فاصلة فولتية الانحياز وتقل التوصيلية التفاضلية، اما عند اضافة قيم طاقة التفاعل غير المباشر السالبة الى فولتية الانحياز فأن ذلك يؤدي الى نقصان فاصلة فولتية الانحياز وتزداد التوصيلية التفاضلية.

الكلمات المفتاحية

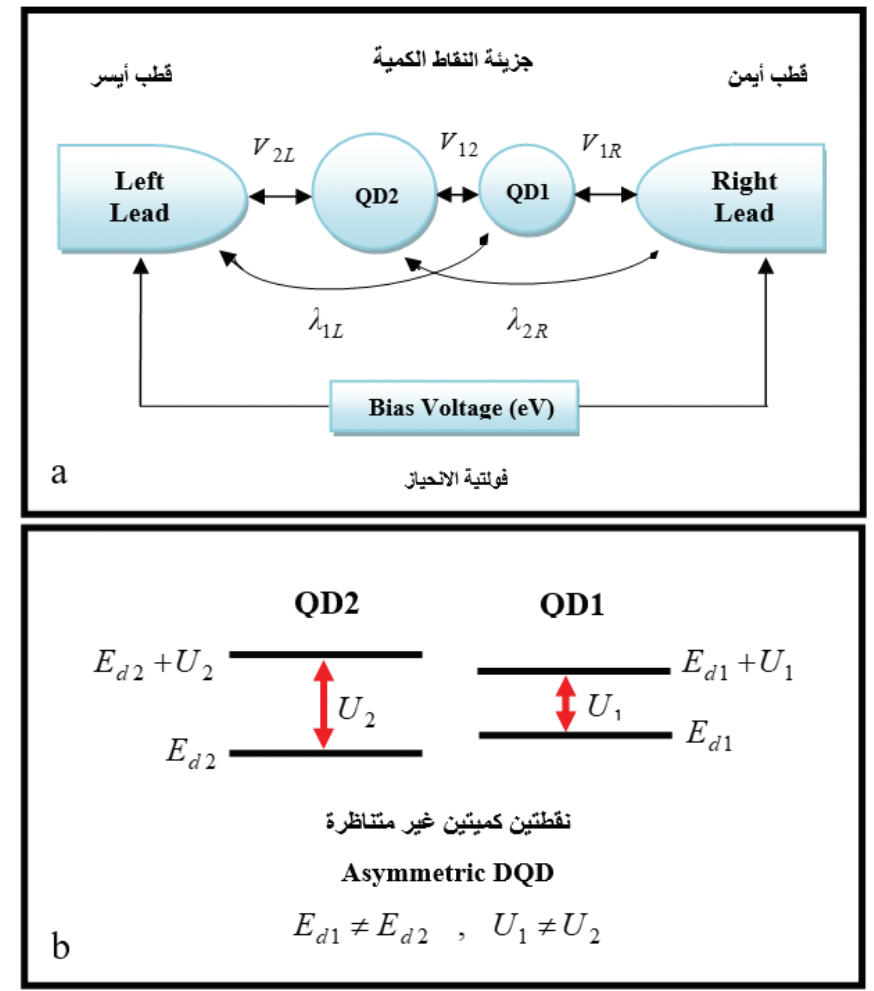
النقطتين الكميتين المقترنتين، نقل الالكترون، التفاعل غير المباشر.



1. المقدمة: Introduction

الكمية المزدوجة في البيئة ككاشف للضوضاء [11]، كما نقطة كمية والقطب البعيد عنها (λ_{2n}^{σ} , λ_{11}^{σ}). وظفت النقاط الكمية في المعالجة البرمية البصرية ا

Spin manipulation [12]. وتستخدم طبقة من خصائص نقل الالكترون خلال نقطتين كميتين مقترنتين النقاط الكمية لتكوين ثنائي النفق الرنيني والذي يعتبر أهم تعد من الظواهر المهمة التي جذبت الاهتمام مؤخراً [1-5] التطبيقات العملية المهمة والخاصة بالكشف عن الفوتونات وذلك بسبب كون هذه التراكيب هي أنظمة مثالية لدراسة المفردة[13] . إن خصائص نقل الالكترون والتي تم التفاعلات الاساسية بين الالكترونات والبرم [8-6]. حسابها نظرياً للنظام-Left Lead- QD2-QD1 وأحد هذه التطبيقات والتي تخص النقاط الكمية المزدوجة Right Lead والتي استعرضت بصورة مفصلة في عملنا هو استخدامها في تكنلوجيا الحوسبة الكمية Quantum السابق[14]، قد تم استخدامها لدراسة تأثير ادخال التفاعل indirect interaction effect) بين كل يمكن استخدام نظام النقاط الغير مباشر (indirect interaction effect) بين كل



الشكل (1): (a) يستعرض نظام نقطتين كميتين غير متناظرتين مقترنتين بهيئة سلسلة موضوعة بين قطبين أيمن وأيسر مو ضحاً فيه طاقة التبادل الغير مباشر بين كل نقطة كمية والقطب البعيد و (b) مخطط الطاقة لنقطتين كميتين غير متناظر تين.



المثل (Z=0) بينها دالة التعريض عند القطب Γ_{0i} بينها ينها

تعطى \dot{a}_{i}^{o} (بالوحدات الذرية) بالصيغة التالية [24]:

$$\alpha_i^{\sigma}(X,Z) = \sqrt{2|E_{di}^{\sigma}|} \tag{3}$$

ويعرف زخم الالكترون $\binom{(K)}{U}$ الوارد في العلاقة (1) بدلالة عمق حزمة الطاقة للمعدن u_0 وفقا لما يأتي:

$$K = \sqrt{2u_0} \tag{4}$$

وبذلك فأن حد التداخل بين النقطتين الكميتين بوجود التفاعل الغبر مباشر يكون:

$$V_{12}^{2} = \left| V_{12} + \lambda_{12}^{\sigma} \right|^{2} \tag{5}$$

3. حسابات خصائص النقل للإلكترون:

أن التيار المار من القطب الايسر الى القطب الايمن خلال المنطقة الفعالة (جزيئة النقطتين الكميتين)، وفي حالة عدم الاتزان وتحت تسليط فولتية انحياز (eV_{bias}) يمكن ان يحسب من العلاقة [27–25]:

$$I = \frac{e}{\hbar} \sum_{\sigma} \int_{\mu_{R}}^{\mu_{L}} dE \ \Gamma^{\sigma} \rho^{\sigma}(E)$$
 (6)

وعند تسليط جهد انحياز $e^{V_{bias}}$ على القطبين فأن ذلك يؤدي الى تغيير مواقع الجهد الكيميائي للقطبين حيث يكون:

$$eV_{bias} = \mu_L = -\mu_R \tag{7}$$

علما بأن $ilde{n}^{\delta}$ و $ilde{A}^{\delta}$ في العلاقة (6) تعطى بما يلي:

$$\rho^{\sigma}(E) = \rho_{1R}^{\sigma}(E) + \rho_{2L}^{\sigma}(E) \qquad ; \qquad \Gamma^{\sigma} = \frac{\Gamma_{2L}^{\sigma} \Gamma_{1R}^{\sigma}}{\Gamma_{2L}^{\sigma} + \Gamma_{1R}^{\sigma}} \quad (8)$$

حيث ان $\tilde{n}_{1R}^{\delta}(E)$, $\tilde{n}_{2L}^{\delta}(E)$ عثل كثافة الحالات δ الالكترونية للنقطة الكمية i على القطب i وللبرم $G_{a}^{\delta}(E)$:

$$\rho_{1R}^{\sigma}(E) = -\frac{1}{\pi} \text{Im} G_{1R}^{\sigma}(E) \qquad ; \qquad \rho_{2L}^{\sigma}(E) = -\frac{1}{\pi} \text{Im} G_{2L}^{\sigma}(E)$$
 (9)

 \dot{o} مثل دوال كرين للنقطة الكمية $\ddot{G}_{\check{a}}^{\delta}\left(E\right)$

2. الأنموذج الحسابي: The Model Calculation

في هذا البحث سنستخدم نظاماً مكوناً من نقطتين كميتين غير متناظرتين مقترنتين بهيئة سلسلة كها في الشكل (1a). في نظام النقطتين الكميتين الغير متناظرتين تكون معدلات نفق الالكترون الى المنطقة الفعالة (منطقة النقاط الكمية) ومنها مختلفة لذا من المتوقع ان يكون هنالك مظاهر مختلفة علماً بأن اختلاف معدلات النفق هو بسبب اختلاف النقطتين الكميتين.

في هذا البحث ستتم دراسة خصائص نقل الالكترون بالاعتهاد على دوال كرين المعتمدة على البرم للنقطة الكمية الواحدة. وبالاعتهاد على انموذج اندرسون غير المعتمد على الزمن يمكن تحديد تفاعلات الاقتران بتفاعلين اساسين هما [15–17]:

- V_{12} (direct interaction) التفاعل المباشر .A بين QD2 و QD1 حيث تظهر هذه الطاقة بسبب انتقال الشحنة الالكترونية وإعادة توزيعها بين النقطتين بسبب قربها من بعض [18].
- indirect interaction) التفاعل غير المباشر (التفاعل غير المباشر كي المباشر كي النقطتين الكميتين عبر مستويات حزمة الطاقة للقطب والناتج بسبب الاضطراب المتبادل بين النقطتين الكميتين من خلال القطب لكون النقاط الكمية قريبة من بعضها [19–20].

 $\lambda_{i\alpha}^{\sigma}$ الجدير بالذكر ان هذا التفاعل يرمز له عادة بالرمز العريض حيث يكون دالة للبرم بسبب اعتماده على دالة التعريض لمستوي النقطة الكمية $\Gamma_{i\alpha}^{\sigma}$ وفقا لما يلى [21]:

 $\lambda_{12}^{\sigma}(E,Z,X) = -i\Gamma_{i\alpha}^{\sigma}(E,Z)\sin(KX)/KX$ (1) حيث تمثل X المسافة بين النقاط الكمية. وبإهمال اعتباد $\Gamma_{i\alpha}^{\sigma}$ على الطاقة [22] فأن دالة التعريض تأخذ الصيغة الاتية [23]:

$$\Gamma_{ia}^{\sigma}(X,Z) = \Gamma_{0i}e^{-2\alpha_{i}^{\sigma}z} \tag{2}$$



اما التوصيلية التفاضلية فقد تم حسابها عددياً باستخدام طريقة الفروقات المحددة [32-34]:

4. النتائج والمناقشة: Results and discussion

في دراستنا سنركز على نظام غير متناظر مكون من نقطتين كميتين غير متماثلتين ومقترنتين الى قطبين (أيمن وأيسر). $\Gamma^{\sigma}_{i\alpha}$ على نهج الاقتران القوي الذي يكون فيه حيث ركزنا فقط على نهج وان قيم $\Gamma_{1R}^{\sigma}
eq \Gamma_{2L}^{\sigma}$ وبمعدل اقتران غير متساوِ $V_{12} >$ لكل منها، اى معدل نفق الالكترون من القطب الايسر الى المنطقة الفعالة اقل من معدل نفق الالكترون من المنطقة الفعالة الى القطب الايمن حيث اخذ بالحالة التي يكون فيها لغرض حساب تيار النفق والتوصيلية قمنا . $\Gamma_{1R}^{\sigma}
eq \Gamma_{2L}^{\sigma}$ اولاً بحساب اعداد الاشغال للنقاط الكمية موستويات اولاً ومستويات المناب اعداد الاشغال النقاط الكمية المناب الطاقة المقابلة لها $E_{di}^{\, \, \, \, \, \, \, \, \, }$ وكذلك " مستويات الطاقة الخيالية الجزيئية " ، أذ حسبت اعداد الأشغال ومستويات الجزيئية المناس الطاقة كلها كدالة لفولتية الانحياز eV_{bias} على الاقطاب حيث $\mu_L = \mu_R = -eV_{bias}$ حيث . $\mu_L = \mu_R = -eV_{bias}$ عادة على تغيير مواقع الجهود الكيميائية μ_R و μ_R بالنسبة لمستوى طاقة النقطة الكمية. اما المعاملات الخاصة بحساباتنا $E_{2} = -0.1 \text{ eV}$ و $E_{1} = 0.05 \text{ eV}$ و فكانت كالآتي: $V_{12} = 0.3 \text{ eV}$ $\Gamma_{1R}^{\sigma} = 0.1 \text{ eV}$ $\Gamma_{1R}^{\sigma} = 0.2 \text{ eV}$ وطاقة تفاعل كولوم التنافري على النقاط الكمية فكان مساوياً الى $U_{2}=0.09~{
m eV}$ و $U_{1}=0.05~{
m eV}$ التبادل في البرم بين النقطتين الكميتين فيأخذ القيم التالية $J = (0, \pm 0.1, \pm 0.2, \pm 0.3, \pm 0.4) \text{ eV}$

 $\lambda_{i\alpha}^{\sigma} = (\pm 0.1, \pm 0.2)$ ولكل قيم التفاعل غير المباشر المختارة الملاحظ من الاشكال الخاصة بالتيار ((a(10-2)) انه ذو سلوك درجي stair case للمنطقة الواقعة بين وخاصة لقيم التفاعل غير المباشر ($\pm V_{12} = 0.3 \text{ eV}$) الموجبة اما للقيم السالبة فأنه ذو سلوك خطى للمنطقة

بسبب الاقتران مع القطب \dot{a} والتي تمت كتابتها بالاستفادة من المصدر [28] بالصبغة التالية:

$$G_{1R}^{\sigma}(E) = \frac{1}{2} \left\{ \frac{(1 + W_1^{\sigma} / V_1^{\sigma})}{(E - E_{1+}^{\sigma}) + i\Gamma_{1R}^{\sigma}} + \frac{(1 - W_1^{\sigma} / V_1^{\sigma})}{(E - E_{1-}^{\sigma}) + i\Gamma_{1R}^{\sigma}} \right\}$$
(10a)

$$G_{2L}^{\sigma}(E) = \frac{1}{2} \left\{ \frac{(1 - W_{2}^{\sigma} / V_{2}^{\sigma})}{(E - E_{2+}^{\sigma}) + i\Gamma_{2L}^{\sigma}} + \frac{(1 + W_{2}^{\sigma} / V_{2}^{\sigma})}{(E - E_{2-}^{\sigma}) + i\Gamma_{2L}^{\sigma}} \right\}$$
(10b)

i مستوي طاقة النقاط الكمية أ Γ_{ia}^{σ} بسبب الاقتران مع القطب (lpha) وهي دالة لطاقة النظام والمسافة بين النقطة الكمية والقطب. باستخدام تقريب الحزمة العريضة (Wide Band) للأقطاب الأيمن والأيسر ، فأن دوال التعريض Γ^{σ}_{ia} تكون غير معتمدة على E_{i+}^{δ} الطاقة [29,30]. اما الطاقات E_{i+}^{δ} فتعرف بها يلي

$$E_{i\pm}^{\sigma} = E_i + U_i n^{-\sigma} - J n^{\sigma} \pm V_i^{\sigma}$$

$$(11)$$

 $E_{i+}^{-\sigma} = E_i + U_i n^{\sigma} - J n^{-\sigma} \pm V_i^{-\sigma}$

تمثل U_i طاقة تفاعل كولوم التنافري ذات البرم المتعاكس للنقطة الكمية QDi (انظر الشكل (1b)).

: يعطى V_i^{δ} بالعلاقة التالية

$$V_{i}^{\sigma} = \sqrt{V_{12}^{2} + (W_{i}^{\sigma})^{2}}$$
 ; $W_{i}^{\sigma} = U_{i}M^{\sigma} + JM^{\sigma}$ (12)

$$n^{\sigma} = \frac{n_{d1}^{\sigma} + n_{d2}^{\sigma}}{2}$$
 ; $M^{\sigma} = \frac{n_{d1}^{\sigma} - n_{d2}^{\sigma}}{2}$ (13)
$$. \text{ QDi } \vec{a}$$

(9) المحسوبة من العلاقة المحسوبة من العلاقة بالعلاقة (8) واستخدام $\widetilde{n}_{lpha}^{o}\left(E
ight)$ بالعلاقة الخاصة بالتيار (علاقة (6)) نحصل على صيغة تحليلية للتيار المار بالنظام في

$$I = \frac{-e}{\hbar} \sum_{\sigma} \sum_{j=+,-} [\Gamma^{\sigma} S_{1j}^{\sigma} \tan^{-1} (\frac{\mu_{R} - E_{1j}^{\sigma}}{\Gamma_{1R}^{\sigma}}) - \Gamma^{\sigma} S_{1j}^{\sigma} \tan^{-1} (\frac{\mu_{L} - E_{1j}^{\sigma}}{\Gamma_{1R}^{\sigma}})$$

$$+ \Gamma^{\sigma} S_{2j}^{\sigma} \tan^{-1} (\frac{\mu_{R} - E_{2j}^{\sigma}}{\Gamma_{2j}^{\sigma}}) - \Gamma^{\sigma} S_{2j}^{\sigma} \tan^{-1} (\frac{\mu_{L} - E_{2j}^{\sigma}}{\Gamma_{2j}^{\sigma}})]$$
(14)

اما الدوال S^{δ}_{j} فتم تعريفها بالعلاقات التالية:

$$S_{1j}^{\sigma} = \frac{1}{2\pi} (1 + j \frac{W_1^{\sigma}}{V_{\sigma}}) \quad ; \quad S_{2j}^{\sigma} = \frac{1}{2\pi} (1 - j \frac{W_2^{\sigma}}{V_{\sigma}})$$
 (15)



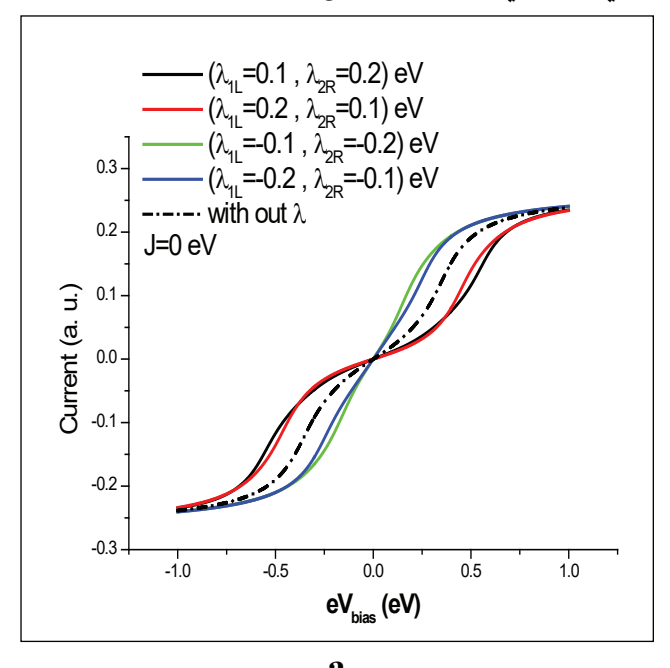
ارد. المباشر. ($\lambda^{\sigma}_{R} = 0.1 \text{ eV}, \; \ddot{e}^{\delta}_{1L} = 0.2 \text{ eV}$). حيث يوضح هذا السلوك منطقة حصار كولوم والتي تعنى ان الكترون واحد سوف ينفق خلال منطقة الحاجز وبذلك يحدث الحماد للتيار عند قيم فولتيات الانحياز الصغيرة، وفي حالة الحصار لا تكون هنالك مستويات طاقة للنقطة الكمية متوفرة ضمن مدى نفق الالكترون، كل المستويات تكون في حالة طاقة ادنى ومملوءة حيث هذه الظاهرة تعطى امكانية استخدام النظام كمفتاح الكتروني.

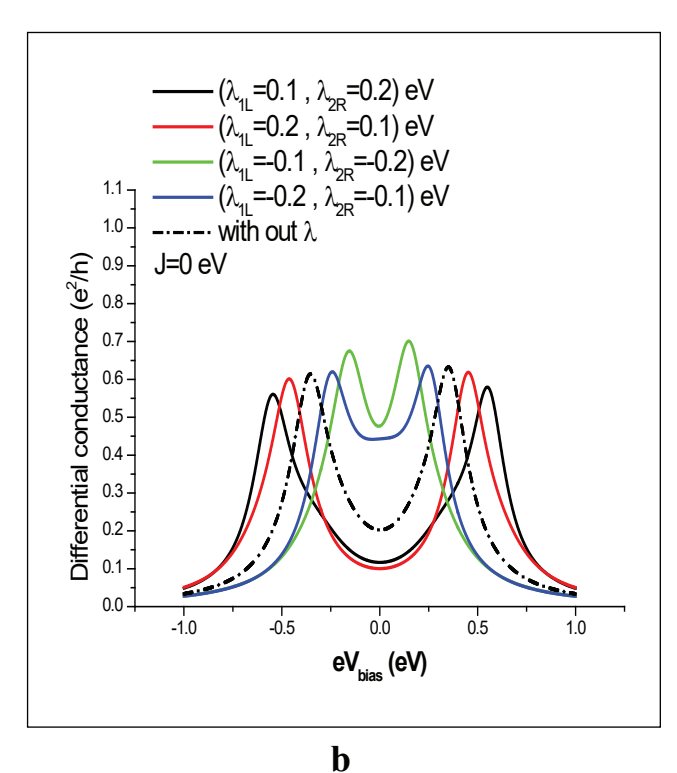
> الجدير بالذكر انه لكي يكون التيار في حساباتنا بالوحدات الذرية يجب ان نقسم كل قيمة من قيم التيار على (27.21). $(e = \hbar = 1)$ اما بالنسبة للتوصيلة التفاضلية فأنها تكون متناظرة حول العمود المار في نقطة الاتزان لقيم $J \leq 0.2 \; \mathrm{eV}$ الإشكال $J \leq 0.2 \; \mathrm{eV}$ فأنها تكون غير متناظرة حول العمود المار $J \geq 0.2 \; \mathrm{eV}$ في نقطة الاتزان مع ظهور قمم جديدة للتوصيلية التفاضلية والتي تدل على ان طبيعة التفاعل بين النقطتين تجاذب.

الواضح من اشكال التوصيلية التفاضلية انها ذات قيمة دنيا تقع عند $eV_{bias}=0$ وقيمتان عظمي لقيم $\lambda_{i\alpha}^{\sigma}$ ذات مواقع مختلفة بالاعتباد على قيم $J \leq 0.2 \; \mathrm{eV}$ $|J| < 0.2 \; \mathrm{eV}$ فيها اذا كانت سالبة او موجبة، عندما تكون فأنها تكون ذات قمة واحدة وخاصة لقيم التفاعل غير المباشر التفاعل أن طبيعة التفاعل (χ^{σ}_{2R} = -0.2 eV, χ^{σ}_{2L} = -0.1 eV) بين النقطتين تنافري، وبذلك تسلك النقطتين كما لو كانت نقطة كمية واحدة. عند استخدام $\lambda_{i\alpha}^{\sigma}$ سالبة هذا يعني نقصان قيمة 12 وبالتالي سوف تقل فاصلة فولتية الانحياز. بينها اذا كانت $n_{i\alpha}^{0}$ موجبة فأن قيمة التوصيلية عند نقطة الاتزان تكون اقل مما عليه في حالة λ_{ia}^{σ} السالبة ولجميع قيم J المختارة. كما أن فاصلة فولتية الانحياز لقيم λ_{ia}^{σ} الموجبة اكبر من الحالة λ^{σ}_{ilpha} التي يتم فيها اهمال تأثير التفاعل غير المباشر. أما في حالة

وهذا السلوك يكون اوضح عندما السالبة فأن هذه الفاصلة اقل من الحالة التي يتم فيها اهمال $\pm V_{12} = 0.3 \; \mathrm{eV})$

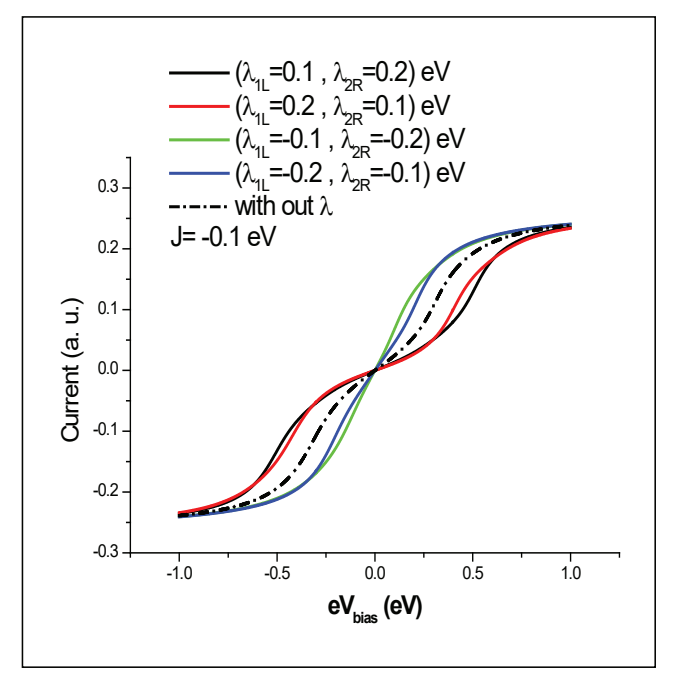
هذه الملاحظات مفيدة جداً لدعم مظاهر الجهاز النانوي الذي يعتمد في عمله على تفاعل نقطتين كميتين.

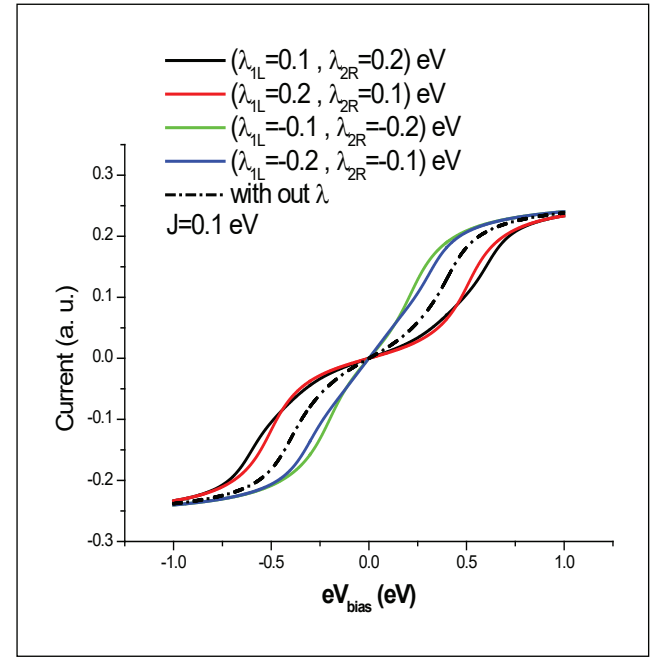




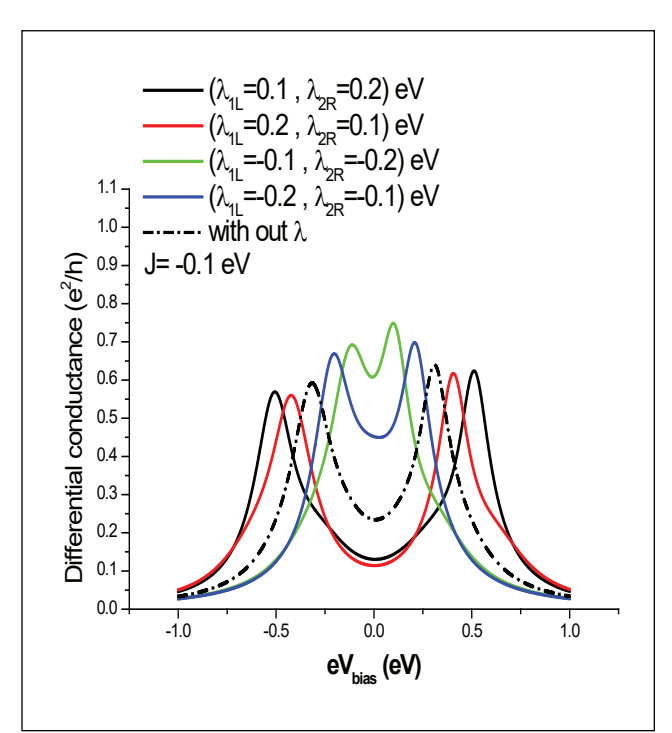
. $J=0~{
m eV}$: (a) يوضح التيار كدالة لفولتية الانحياز و (b) التوصيلية التفاضلية كدالة لفولتية الانحياز عندما:

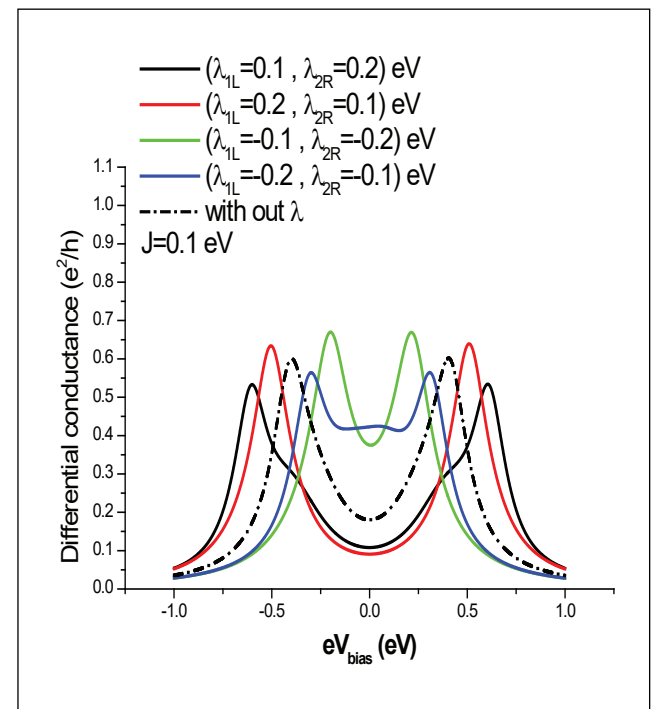






a a



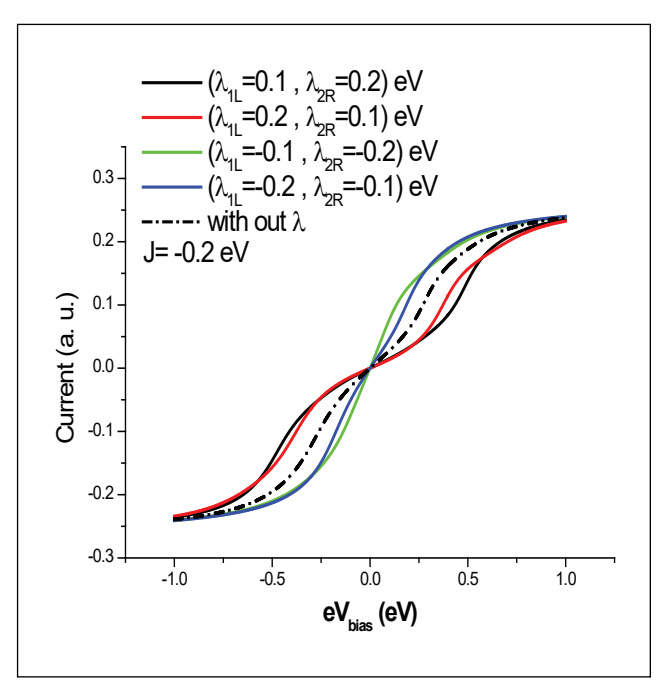


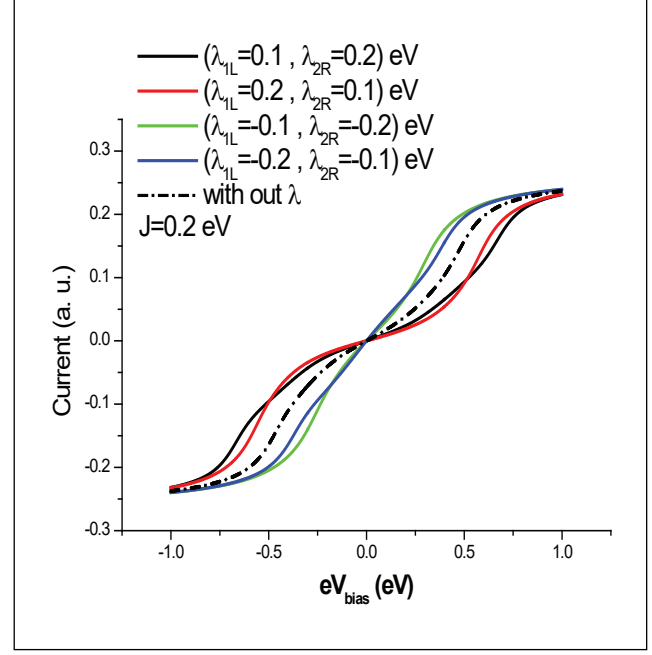
b b

الشكل (4): (a) يوضح التيار كدالة لفولتية الانحياز و (b) التوصيلية . J = -0.1 eV التفاضلية كدالة لفو لتبة الانحياز عندما:

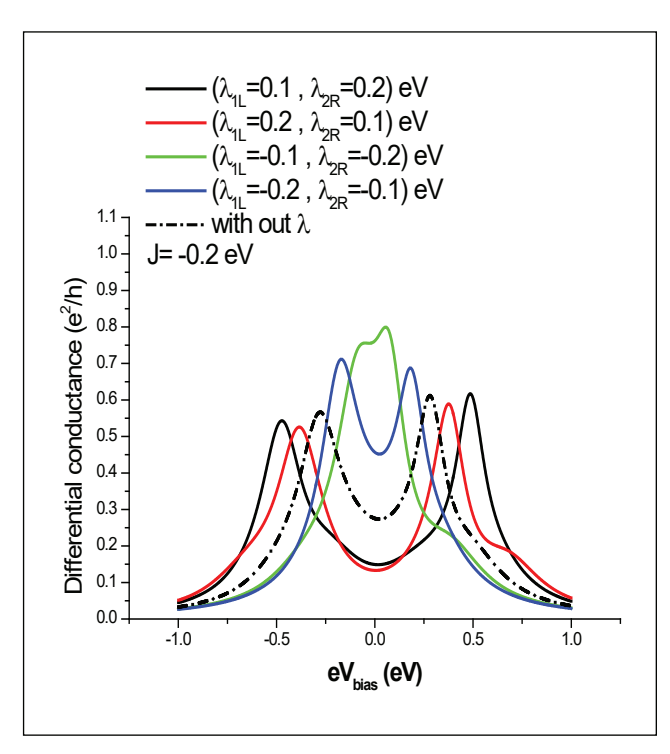
. J = 0.1 eV الشكل (3): (a) يوضح التيار كدالة لفولتية الانحيازو (b) التوصيلية التفاضلية كدالة لفولتية الانحياز عندما:



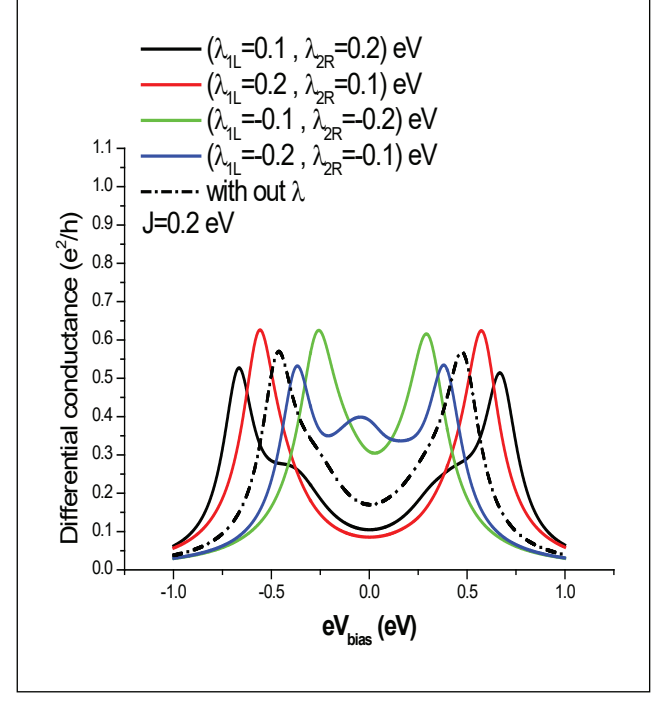




a



a

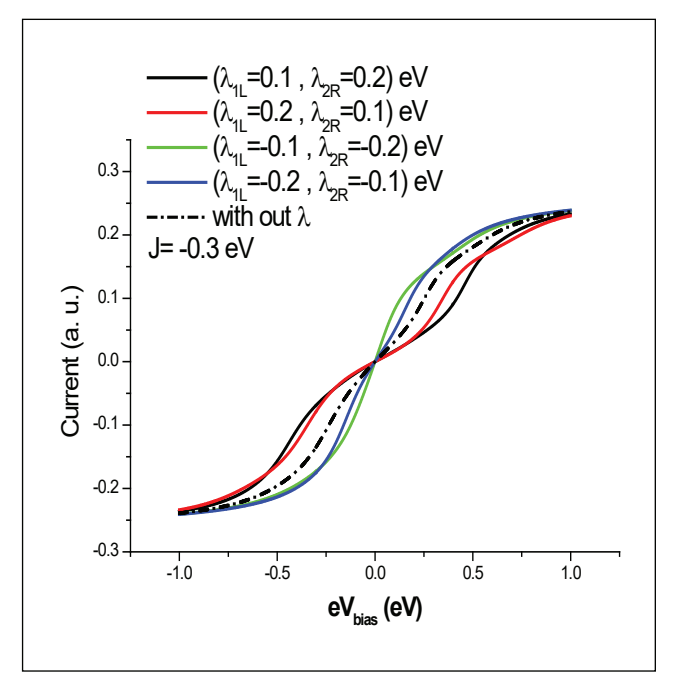


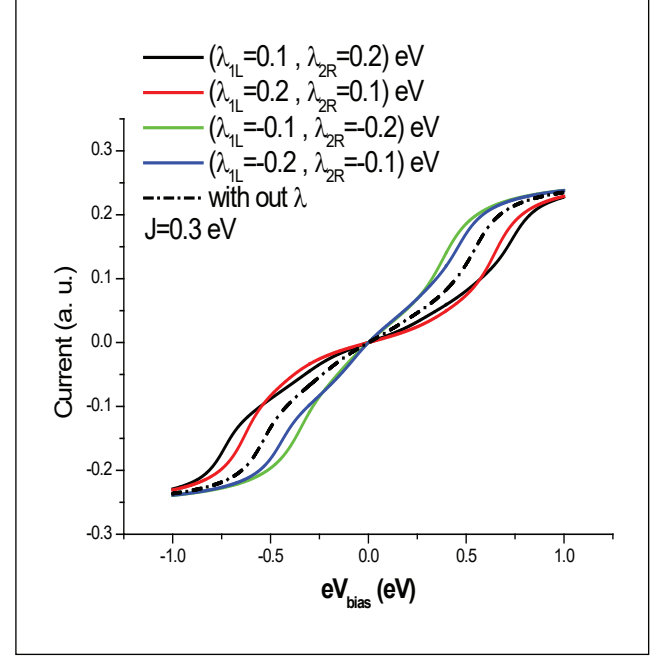
الشكل (6): (a) يوضح التيار كدالة لفولتية الانحياز و (b) التوصيلية التفاضلية كدالة لفولتية الانحياز عندما: $J = -0.2 \; \mathrm{eV}$.

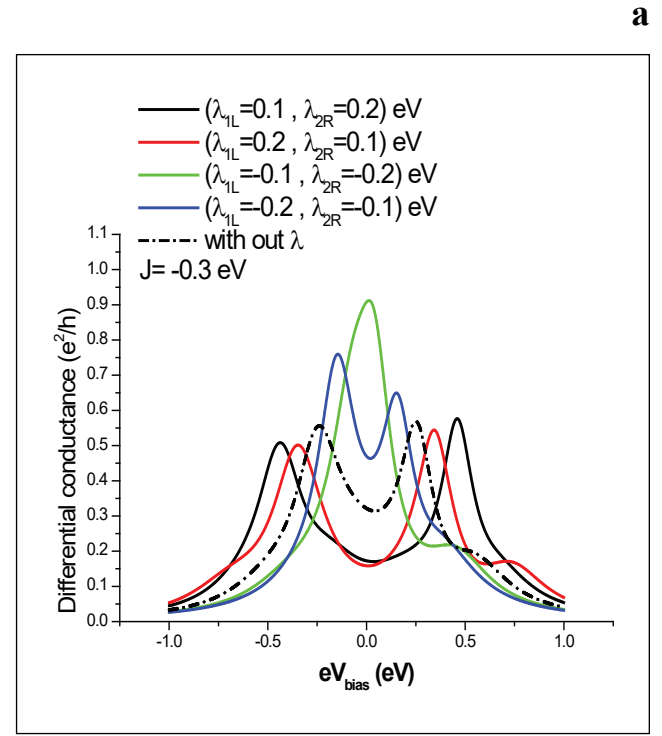
الشكل (5): (a) يوضح التيار كدالة لفولتية الانحياز و (b) التوصيلية التفاضلية كدالة لفولتية الانحياز عندما: $J = 0.2 \; \mathrm{eV}$.

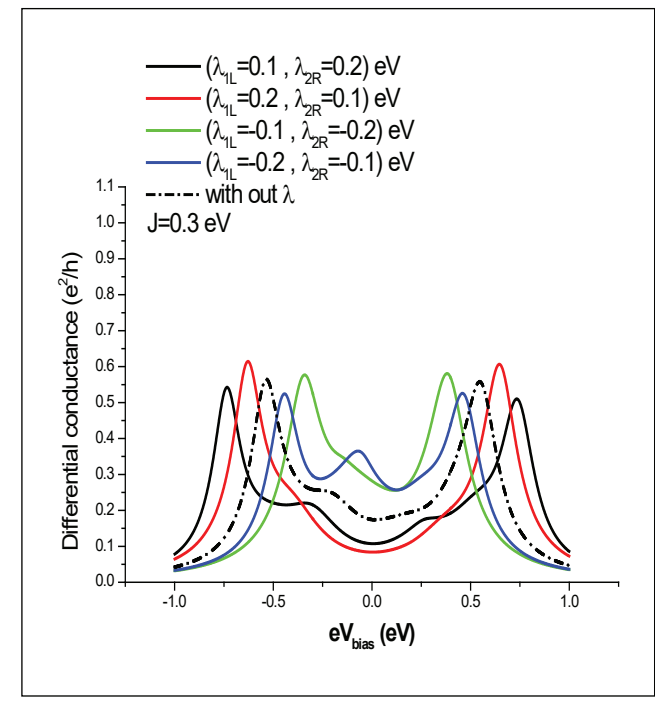
a









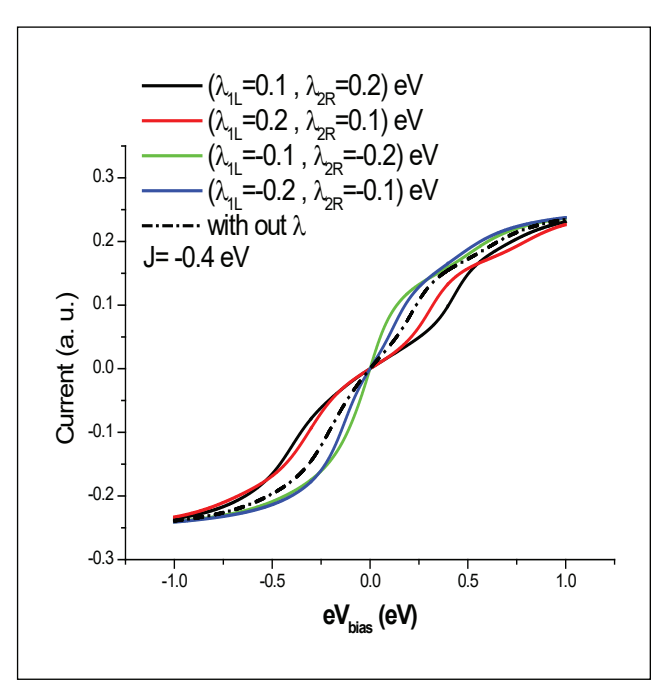


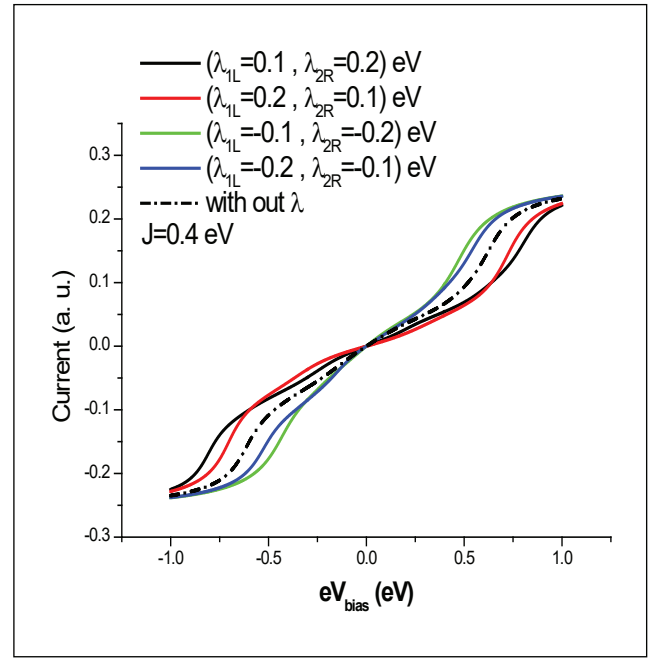
. $J = -0.3 \; \mathrm{eV}$ التفاضلية كدالة لفو لتبة الانحياز عندما:

الشكل (7): (a) يوضح التيار كدالة لفولتية الانحياز و (b) التوصيلية الشكل (8: (a)) يوضح التيار كدالة لفولتية الانحياز و (b) التوصيلية . $J = 0.3 \; {
m eV}$ التفاضلية كدالة لفو لتبة الانحياز عندما:



a





 $(\lambda_{1L} = 0.1, \lambda_{2R} = 0.2) \text{ eV}$ $(\lambda_{1L}^{1}=0.2, \lambda_{2R}^{2}=0.1) \text{ eV}$ $(\lambda_{1L}^{1L}=-0.1, \lambda_{2R}^{1L}=-0.2) \text{ eV}$ $(\lambda_{11}^{11} = -0.2, \lambda_{2R}^{2R} = -0.1)$ eV ---- with out λ 1.0 -J= -0.4 eV Differential conductance (e²/h)

0.00

0.00

0.00

0.00

0.00

0.00

0.00

0.00

0.00

0.00

0.00

0.00

0.00

0.00

0.00

0.00

0.00

0.00

0.00

0.00

0.00

0.00

0.00

0.00

0.00

0.00

0.00

0.00

0.00

0.00

0.00

0.00

0.00

0.00

0.00

0.00

0.00

0.00

0.00

0.00

0.00

0.00

0.00

0.00

0.00

0.00

0.00

0.00

0.00

0.00

0.00

0.00

0.00

0.00

0.00

0.00

0.00

0.00

0.00

0.00

0.00

0.00

0.00

0.00

0.00

0.00

0.00

0.00

0.00

0.00

0.00

0.00

0.00

0.00

0.00

0.00

0.00

0.00

0.00

0.00

0.00

0.00

0.00

0.00

0.00

0.00

0.00

0.00

0.00

0.00

0.00

0.00

0.00

0.00

0.00

0.00

0.00

0.00

0.00

0.00

0.00

0.00

0.00

0.00

0.00

0.00

0.00

0.00

0.00

0.00

0.00

0.00

0.00

0.00

0.00

0.00

0.00

0.00

0.00

0.00

0.00

0.00

0.00

0.00

0.00

0.00

0.00

0.00

0.00

0.00

0.00

0.00

0.00

0.00

0.00

0.00

0.00

0.00

0.00

0.00

0.00

0.00

0.00

0.00

0.00

0.00

0.00

0.00

0.00

0.00

0.00

0.00

0.00

0.00

0.00

0.00

0.00

0.00

0.00

0.00

0.00

0.00

0.00

0.00

0.00

0.00

0.00

0.00

0.00

0.00

0.00

0.00

0.00

0.00

0.00

0.00

0.00

0.00

0.00

0.00

0.00

0.00

0.00

0.00

0.00

0.00

0.00

0.00

0.00

0.00

0.00

0.00

0.00

0.00

0.00

0.00

0.00

0.00

0.00

0.00

0.00

0.00

0.00

0.00

0.00

0.00

0.00

0.00

0.00

0.00

0.00

0.00

0.00

0.00

0.00

0.00

0.00

0.00

0.00

0.00

0.00

0.00

0.00

0.00

0.00

0.00

0.00

0.00

0.00

0.00

0.00

0.00

0.00

0.00

0.00

0.00

0.00

0.00

0.00

0.00

0.00

0.00

0.00

0.00

0.00

0.00

0.00

0.00

0.00

0.00

0.00

0.00

0.00

0.00

0.00

0.00

0.00

0.00

0.00

0.00

0.00

0.00

0.00

0.00

0.00

0.00

0.00

0.00

0.00

0.00

0.00

0.00

0.00

0.00

0.00

0.00

0.00

0.00

0.00

0.00

0.00

0.00

0.00

0.00

0.00

0.00

0.00

0.00

0.00

0.00

0.00

0.00

0.00

0.00

0.00

0.00

0.00

0.00

0.00

0.00

0.00

0.00

0.00

0.00

0.00

0.00

0.00

0.00

0.00

0.00

0.00

0.00

0.00

0.00

0.00

0.00

0.00

0.00

0.00

0.00

0.00

0.00

0.00

0.00

0.00

0.00

0.00

0.00

0.00

0.00

0.00

0.00

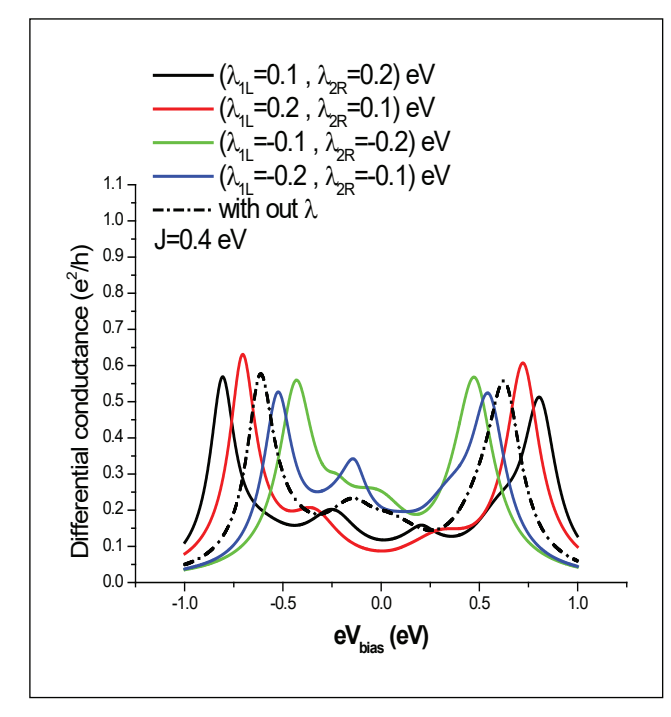
0.00

0.00

0.00

0 0.6 -0.5 -0.4 -0.3 --1.0 0.0 0.5 eV_{bias} (eV)

a



. $J = -0.4 \; \mathrm{eV}$ التفاضلية كدالة لفو لتية الانحياز عندما:

الشكل (9): (a) يوضح التيار كدالة لفولتية الانحياز و (b) التوصيلية الشكل (10): (a) يوضح التيار كدالة لفولتية الانحياز و (b) التوصيلية . $J = 0.4 \; {
m eV}$ التفاضلية كدالة لفو لتبة الانحياز عندما:



- [11] Shi, P., Hu, M., Ying, Y., Jina, J., AIP Advances 6, 095002, (2016).
- [12] Kim, D., Economou, S. E., Badescu, S. C., Scheibner, M., Bracker, A. S., Bashkansky, M., Reinecke, T. L., Gammon, D., Naval Research Laboratory, 4555 Overlook Ave, SW, Washington, D.C., 20375, (2013).
- [13] Li, H. W., Kardynal, B. E., See, P., Shields, A. J., Simmonds, P., Beere, H. E., Ritchie, D. A., Appl. Phys. Lett. 91, 073516, (2007).
- [14] Najdi, M. A., AL-Mukh, J. M., Jassem,H. A., Journal of Bas. Res. (Sciences),Vol. (42). No. (1) B, (2016).
- [15] Stepanyuk, V. S., Niebergall, L., Baranov,A. N., Hergert, W., Bruno, P., Comp. Mat.Sci. 35, pp. 272 274, (2006).
- [16] Stepanyuk, V. S., Niebergall, L., Longo, R. C., Hergert, W., Bruno, P., Phys. Rev. B 70, 075414, (2004).
- [17] Pietzsch, O., Kubetzka, A., Bode, M., Wiesendanger, R., Phys. Rev. Lett. 92, 057202, (2004).
- [18] Slater, J. C., "Quantum Theory of Molecules and Solid", Vol.1, McGraw-Hill BookCompany, INC, New York, (1960).
- [19] Grimley, T. B., Proc. of Phys. Soc., 90, 751-764, (1967).
- [20] Lebosse, J. A., Lopez, J., Rousseau-Violet, J., Surf. Sci. 81, L329-L332, (1979); Lebosse, J.C., Lopez, J., Rousseau-Violet, J., Surf. Sci. 81, 329-332,

المصادر:

- [1] Golovach, V. N., Loss, D., Phys. Rev. B 69, 245327, (2004).
- [2] McClure, D. T., DiCarlo, L., Zhang,Y., Engel, H. A., Marcus, C. M., Hanson, M. P., Gossard, A. C., Phys. Rev. Lett. 98, 056801, (2007).
- [3] Kuo, D. M. T., Chang, Y., Phys. Rev. B 89, 115416, (2014).
- [4] Li, R., Hudson, F. E., Dzurak, A. S., Hamilton, A. R., Nano Lett., 15 (11), pp. 7314–7318, (2015).
- [5] Tsukanova, A. V., Chekmachevb, V. G., Russ. Micro. Vol. 45, No. 1, pp. 1–10, (2016).
- [6] Wolf, S. A., Awschalom, D. D., Buhrman, R. A., Daughton, J. M., Von Molnar, S., Roukes, M. L., Chtchelka, A. Y., Treger, D. M., Sci. 294, 1488, (2001).
- [7] Awschalom, D. D., Loss, D., Samarth, N., "Semiconductor Spintronics and Quantum Computation", Spr., Berlin, (2002).
- [8] Maekawa, S., Shinjo, T., "Spin Dependent Transport in Magnetic Nanostructures", Taylor & Francis, London, (2002).
- [9] Liu, Y. Y., Stehlik, J., Eichler, C., Gullans,M. J., Taylor, J. M., Petta, J. R., Sci. Vol. 347, Issue 6219, pp. 285-287, (2015).
- [10] Baart, T. A., Eendebak, P. T., Reich, C., Wegscheider, W., Vandersypen, L. M. K., Appl. Phys. Lett., Vol. 108, Issue 21, (2016).



- (1979).
- [21] Alexander, S., Anderson, P. W., Phys. Rev., 133, 6, A1594, (1964).
- [22] Newns, D. M., Phys. Rev. 178, 1123, (1969).
- [23] Kjollerstorm, B., Scalapino, D. J., Shrieffer, J. R., Phys. Rev., 148(2), 665, (1966).
- [24] [24] Grimley, T. B., Jyothibhasu, V. C., Surf. Sci., 124, 305, (1983).
- [25] Fujii, T., Ueda, K., Phys. E 22, 498-501, (2004).
- [26] Hershfield, S., Davies, J. H., Wilkins, J.W., Phys. Rev. Lett. 67, (1991).
- [27] Hershfield, S., Davies, J. H., Wilkins, J.W., Phys. Rev. B 46, 7046, (1992).
- [28] Tafarner, W. T., Davision, S. G., Cha. Phys. Lett., 269, 171, (1997).
- [29] Sulston, K. W., Amos, A. T., Davision, S. G., Surf. Sci. 197, L555-L566, (1989).
- [30] Sulston, K. W., Amos, A. T., Davision, S.G., Phys. Rev. B 37, No.16, (1988).
- [31] Muda, Y., Bull-Nara. Unv. Educ., 32, 2, 85, (1983).
- [32] Nielsen, S. K., Brandbyge, M., Hansen, K., Stokbro, K., van Ruitenbeek, J. M., Besenbacher, F., Phys. Rev. Lett. 89, 066804, (2002).
- [33] Smit, R. H. M., Noat, Y., Untiedt, C., Lang, N. D., van Hemert, M. C., Ruitenbeek, J. M., Nat. 419, 906, (2002).
- [34] Thygesen, K. S., and Jacobsen, K.W., Phys. Rev. Lett. 94, 036807, (2005).